

УДК 539.3

КОНТАКТНАЯ ЗАДАЧА ДЛЯ УЗКОГО КОЛЬЦЕВОГО ШТАМПА. НЕИЗВЕСТНАЯ ОБЛАСТЬ КОНТАКТА

И. И. Аргатов, С. А. Назаров*

Государственная морская академия им. С. О. Макарова, 199106 Санкт-Петербург

* Санкт-Петербургский государственный университет, 198904 Санкт-Петербург

Изучена нелинейная задача определения контактных давлений и зоны контакта под подошвой узкого кольцевого штампа. На основе метода сращиваемых асимптотических разложений построена асимптотическая модель одностороннего контакта вдоль линии. В явном виде выписаны асимптотические представления для плотности погонных давлений. Найдена асимптотика дуги контакта.

1. Постановка задачи и обсуждение. Пусть Γ — окружность радиуса R , параметризованная полярным углом θ (см. рисунок). Обозначим через h и $\varepsilon = h/R$ полуширину и относительную полуширину кольца $\Gamma(\varepsilon)$, срединной линией которого является Γ . Вектор перемещений $\mathbf{u} = (u_1, u_2, u_3)$ точек упругого полупространства под действием кольцевого штампа с основанием $\Gamma(\varepsilon)$ удовлетворяет задаче

$$\mu \Delta_x \mathbf{u}(\varepsilon; \mathbf{x}) + (\lambda + \mu) \operatorname{grad} \operatorname{div} \mathbf{u}(\varepsilon; \mathbf{x}) = 0, \quad x_3 < 0; \quad (1.1)$$

$$\sigma_{31}(\mathbf{u}; \mathbf{x}) = \sigma_{32}(\mathbf{u}; \mathbf{x}) = 0, \quad x_3 = 0; \quad (1.2)$$

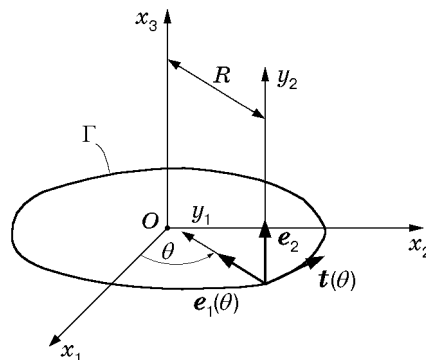
$$\sigma_{33}(\mathbf{u}; \mathbf{x}) = 0, \quad x_3 = 0, \quad (x_1, x_2) \notin \Gamma(\varepsilon); \quad (1.3)$$

$$u_3(\varepsilon; \mathbf{x}) \leq -\delta_0 - \beta_2 x_1, \quad \sigma_{33}(\mathbf{u}; \mathbf{x}) \leq 0, \quad (1.4)$$

$$[u_3(\varepsilon; \mathbf{x}) + \delta_0 + \beta_2 x_1] \sigma_{33}(\mathbf{u}; \mathbf{x}) = 0, \quad x_3 = 0, \quad (x_1, x_2) \in \Gamma(\varepsilon);$$

$$\mathbf{u}(\varepsilon; \mathbf{x}) = o(1), \quad |\mathbf{x}| = (x_1^2 + x_2^2 + x_3^2)^{1/2} \rightarrow \infty. \quad (1.5)$$

Здесь Δ_x — оператор Лапласа; λ, μ — параметры Ламе; $\sigma_{3j}(\mathbf{u})$ — компоненты тензора напряжений; δ_0, β_2 — заданные поступательное смещение и угол поворота штампа



относительно оси Ox_2 . Выражая нормальную составляющую вектора перемещений в граничной точке через поверхностные давления p и используя общепринятые обозначения для модуля Юнга E и коэффициента Пуассона ν , условия одностороннего контакта (1.4) запишем в виде

$$p(x_1, x_2) > 0 \Rightarrow \iint_{\Gamma(\varepsilon)} \frac{p(\xi_1, \xi_2)}{\sqrt{(x_1 - \xi_1)^2 + (x_2 - \xi_2)^2}} d\xi_1 d\xi_2 = \frac{\pi E}{1 - \nu^2} (\delta_0 + \beta_2 x_1),$$

$$p(x_1, x_2) = 0 \Rightarrow \iint_{\Gamma(\varepsilon)} \frac{p(\xi_1, \xi_2)}{\sqrt{(x_1 - \xi_1)^2 + (x_2 - \xi_2)^2}} d\xi_1 d\xi_2 \geq \frac{\pi E}{1 - \nu^2} (\delta_0 + \beta_2 x_1), \quad (1.6)$$

$$p(x_1, x_2) \geq 0, \quad (x_1, x_2) \in \Gamma(\varepsilon).$$

ЗАМЕЧАНИЕ 1. Из соотношений (1.6) следует, что контакт не может осуществляться в точках $(x_1, x_2) \in \Gamma(\varepsilon)$, в которых поверхность штампа располагается выше уровня невозмущенной границы упругого основания.

Поставленная в рамках линейной теории упругости задача (1.1)–(1.5) нелинейна. Ввиду того что в процессе нагружения штампа расчетная схема конструкции изменяется (появляются новые связи или разрушаются старые), нелинейность такого рода принято называть конструкционной. Математическое исследование подобных задач проводилось с привлечением аппарата теории вариационных неравенств (см., например, [1, 2]). Методы качественного исследования разработаны в [3]. Численные алгоритмы предлагались в [1, 2, 4]. Задачи оптимального управления изучались в [5]. В работе [6] в задачах механики трещин выводилось неравенство, аналогичное рассматриваемому в данной работе, и на его основе формулировались критерии разрушения.

Специфика рассматриваемой задачи заключается в необходимости указать расположение границы смены типа краевых условий в (1.4). Искомая зона контакта представляет собой узкую подобласть кольца $\Gamma(\varepsilon)$, которая при уменьшении ε стягивается к некоторой дуге окружности Γ . В данном случае будем говорить о контакте вдоль линии [7]. Поэтапный процесс уточнения сведений о том, где на $\Gamma(\varepsilon)$ осуществляется контакт штампа с поверхностью упругого основания, назван вариацией зоны контакта [8].

Ниже описываются асимптотические конструкции, на основе которых строится приближенное решение задачи (1.1)–(1.5). Впервые они применялись в работах [7, 9, 10]. Метод сращиваемых разложений, используемый в п. 3, подробно изложен в [11]. Цель данной работы состоит в получении компактных формул, подходящих для расчетов. В [8] изучена аналогичная задача для оператора Лапласа и дано обоснование асимптотического решения. Предположение об отсутствии трения позволяет применить представление Палковича — Найбера и использовать результаты [8] для решения рассматриваемой задачи.

2. Внешнее асимптотическое представление. Обозначим через \mathbf{T} решение задачи Буссинеска о воздействии на границу упругого полупространства $x_3 \leq 0$ единичной сосредоточенной силы, приложенной в начале координат и направленной противоположно оси Ox_3 . Вектор смещения точек полупространства под влиянием нагрузки, распределенной вдоль контура Γ с некоторой погонной плотностью P , выражается интегралом

$$\mathbf{v}(P; \mathbf{x}) = \int_{-\pi}^{\pi} P(\tau) \mathbf{T}(x_1 - R \cos \tau, x_2 - R \sin \tau, x_3) R d\tau. \quad (2.1)$$

Вектор-функция (2.1) служит приближением к решению \mathbf{u} в области, удаленной от $\Gamma(\varepsilon)$, если интерпретировать P как интенсивность контактных давлений, рассчитанных на единицу длины дуги срединной линии подошвы штампа.

В окрестности Γ перейдем к криволинейной ортогональной системе координат (θ, y_1, y_2) (см. рисунок), связанных с декартовыми формулами

$$x_1 = (R - y_1) \cos \theta, \quad x_2 = (R - y_1) \sin \theta, \quad x_3 = y_2. \quad (2.2)$$

Декартовы компоненты вектора перемещений, вызванных единичной силой, приложенной на Γ в точке с угловой координатой τ , записываются в виде

$$T_1(\theta, \mathbf{y}; \tau) = -\frac{R(\cos \theta - \cos \tau) - y_1 \cos \theta}{4\pi\mu R_{\mathbf{y}}(\theta, \tau)} \left(\frac{y_2}{R_{\mathbf{y}}(\theta, \tau)^2} + \frac{1 - 2\nu}{R_{\mathbf{y}}(\theta, \tau) - y_2} \right),$$

$$T_2(\theta, \mathbf{y}; \tau) = -\frac{R(\sin \theta - \sin \tau) - y_1 \sin \theta}{4\pi\mu R_{\mathbf{y}}(\theta, \tau)} \left(\frac{y_2}{R_{\mathbf{y}}(\theta, \tau)^2} + \frac{1 - 2\nu}{R_{\mathbf{y}}(\theta, \tau) - y_2} \right),$$

$$4\pi\mu T_3(\theta, \mathbf{y}; \tau) = -\frac{1}{R_{\mathbf{y}}(\theta, \tau)} \left(\frac{y_2^2}{R_{\mathbf{y}}(\theta, \tau)^2} + 2(1 - \nu) \right),$$

$$R_{\mathbf{y}}(\theta, \tau)^2 = 4R^2(1 + R^{-1}y_1) \sin^2[(\theta - \tau)/2] + |\mathbf{y}|^2, \quad |\mathbf{y}| = (y_1^2 + y_2^2)^{1/2}.$$

Введем в рассмотрение проекции вектора (2.1) на координатные орты $\mathbf{t}(\theta)$, $\mathbf{e}_1(\theta)$, \mathbf{e}_2 (см. рисунок):

$$\begin{aligned} V_t(P; \theta, \mathbf{y}) &= \int_{-\pi}^{\pi} P(\tau) [-T_1(\theta, \mathbf{y}; \tau) \sin \theta + T_2(\theta, \mathbf{y}; \tau) \cos \theta] R d\tau, \\ V_1(P; \theta, \mathbf{y}) &= \int_{-\pi}^{\pi} P(\tau) [-T_1(\theta, \mathbf{y}; \tau) \cos \theta - T_2(\theta, \mathbf{y}; \tau) \sin \theta] R d\tau, \\ V_2(P; \theta, \mathbf{y}) &= \int_{-\pi}^{\pi} P(\tau) T_3(\theta, \mathbf{y}; \tau) R d\tau. \end{aligned} \quad (2.3)$$

Считаем, что функция P непрерывна и имеет кусочно-непрерывную производную с разрывами первого рода (в дальнейшем эти условия соблюдаются). Используя методы асимптотического анализа [6, 7, 9, 10] интегралов типа (2.3), при $|\mathbf{y}| \rightarrow 0$ получим представления

$$4\pi\mu V_t(P; \theta, \mathbf{y}) = (1 - 2\nu) \text{v.p.} \int_{\theta-\pi}^{\theta+\pi} P(\tau) \frac{\cos[(\tau - \theta)/2]}{\sin[(\tau - \theta)/2]} d\tau + \dots,$$

$$4\pi\mu V_1(P; \theta, \mathbf{y}) = -\frac{2y_1y_2}{|\mathbf{y}|^2} P(\theta) + 2(1 - 2\nu) \text{sign}(y_1) \left(\text{arctg} \frac{|y_2|}{|y_1|} - \frac{\pi}{2} \right) P(\theta) + \frac{1 - 2\nu}{2R} Q + \dots, \quad (2.4)$$

$$4\pi\mu V_2(P; \theta, \mathbf{y}) = 4(1 - \nu) \left[P(\theta) \ln \frac{|\mathbf{y}|}{8R} - (\mathbf{J}P)(\theta) \right] - \frac{2y_2^2}{|\mathbf{y}|^2} P(\theta) + \dots$$

Здесь v.p. — главное значение интеграла в смысле Коши; Q — равнодействующая системы нагрузок, прижимающих штамп к поверхности упругого основания; \mathbf{J} — интегральный оператор;

$$(\mathbf{J}P)(\theta) = \frac{1}{2} \int_{-\pi}^{\pi} \frac{P(\tau) - P(\theta)}{2|\sin[(\tau - \theta)/2]|} d\tau, \quad Q = \int_{-\pi}^{+\pi} P(\tau) R d\tau. \quad (2.5)$$

Обсуждение оценок отброшенных членов в соотношениях (2.4) выходит за рамки статьи; отметим только, что они во многом зависят от дифференциальных свойств плотности P [8–10].

3. Внутреннее асимптотическое представление. В окрестности подошвы штампа перейдем к локальной системе координат (θ, y_1, y_2) , осуществляя замену (2.2) в соотношениях (1.1)–(1.4), записанных в цилиндрических координатах. Введем “быстрые” переменные

$$\boldsymbol{\eta} = (\eta_1, \eta_2) = \varepsilon^{-1}(y_1, y_2).$$

Удерживая в полученных соотношениях только старшие (относительно параметра ε) слагаемые, сформируем в полуплоскости $\eta_2 \leq 0$ задачу для внутреннего асимптотического представления решения исходной задачи:

$$\mathbf{w}(\theta, \boldsymbol{\eta}) = w_t(\theta, \boldsymbol{\eta})\mathbf{t}(\theta) + W_1(\theta, \boldsymbol{\eta})\mathbf{e}_1(\theta) + W_2(\theta, \boldsymbol{\eta})\mathbf{e}_2. \quad (3.1)$$

В силу векторного уравнения (1.1) имеем соотношения

$$\mu\Delta_{\boldsymbol{\eta}}W_1(\theta, \boldsymbol{\eta}) + (\lambda + \mu)[\partial_1^2W_1(\theta, \boldsymbol{\eta}) + \partial_1\partial_2W_2(\theta, \boldsymbol{\eta})] = 0, \quad (3.2)$$

$$\mu\Delta_{\boldsymbol{\eta}}W_2(\theta, \boldsymbol{\eta}) + (\lambda + \mu)[\partial_1\partial_2W_1(\theta, \boldsymbol{\eta}) + \partial_2^2W_2(\theta, \boldsymbol{\eta})] = 0;$$

$$\mu\Delta_{\boldsymbol{\eta}}w_t(\theta, \boldsymbol{\eta}) = 0, \quad \eta_2 < 0, \quad (3.3)$$

где $\Delta_{\boldsymbol{\eta}}$ — двумерный оператор Лапласа; $\partial_i = \partial/\partial\eta_i$. Из уравнения (1.2) следуют краевые условия

$$\mu\partial_2w_t(\theta, \boldsymbol{\eta}) = 0, \quad \eta_2 = 0; \quad (3.4)$$

$$\tau_{12}(\mathbf{W}; \boldsymbol{\eta}) \equiv \mu(\partial_1W_2(\theta, \boldsymbol{\eta}) + \partial_2W_1(\theta, \boldsymbol{\eta})) = 0, \quad \eta_2 = 0. \quad (3.5)$$

Формула (1.3) заменяется следующей:

$$\tau_{22}(\mathbf{W}; \boldsymbol{\eta}) \equiv \lambda\partial_1W_1(\theta, \boldsymbol{\eta}) + (\lambda + 2\mu)\partial_2W_2(\theta, \boldsymbol{\eta}) = 0, \quad \eta_2 = 0, \quad R < |\eta_1|. \quad (3.6)$$

Условия одностороннего контакта (1.4) преобразуются в соотношения

$$W_2(\theta, \boldsymbol{\eta}) \leq -\delta_0 - \beta_2R \cos \theta, \quad \tau_{22}(\mathbf{W}; \boldsymbol{\eta}) \leq 0, \quad (3.7)$$

$$[W_2(\theta, \boldsymbol{\eta}) + \delta_0 + \beta_2R \cos \theta]\tau_{22}(\mathbf{W}; \boldsymbol{\eta}) = 0, \quad \eta_2 = 0, \quad -R < \eta_1 < R.$$

В рамках метода сращиваемых разложений формулы (3.2)–(3.7) необходимо дополнить требованиями, характеризующими поведение решения \mathbf{w} на бесконечности. Процедура сращивания внутреннего (3.1) и внешнего (2.1) асимптотических представлений подразумевает совпадение главных членов асимптотик величин $\mathbf{v}(P; \theta, \mathbf{y})$ и $\mathbf{w}(\theta, \boldsymbol{\eta})$ при $|\mathbf{y}| \rightarrow 0$ и $|\boldsymbol{\eta}| = (\eta_1^2 + \eta_2^2)^{1/2} \rightarrow \infty$ соответственно. Таким образом, согласно (2.4) при $|\boldsymbol{\eta}| \rightarrow \infty$ имеем

$$4\pi\mu w_t(\theta, \boldsymbol{\eta}) = (1 - 2\nu) \text{v.p.} \int_{\theta-\pi}^{\theta+\pi} P(\tau) \frac{\cos[(\tau - \theta)/2]}{\sin[(\tau - \theta)/2]} d\tau + o(1); \quad (3.8)$$

$$4\pi\mu W_1(\theta, \boldsymbol{\eta}) = -\frac{2\eta_1\eta_2}{|\boldsymbol{\eta}|^2} P(\theta) + 2(1 - 2\nu) \text{sign}(\eta_1) \left(\arctg \frac{|\eta_2|}{|\eta_1|} - \frac{\pi}{2} \right) P(\theta) + \frac{1 - 2\nu}{2R} Q + o(1),$$

$$4\pi\mu W_2(\theta, \boldsymbol{\eta}) = 4(1 - \nu) \left[P(\theta) \left(\ln \frac{|\boldsymbol{\eta}|}{R} - \ln \frac{8R}{h} \right) - (\mathbf{J}P)(\theta) \right] - \frac{2\eta_2^2}{|\boldsymbol{\eta}|^2} P(\theta) + o(1). \quad (3.9)$$

Нетрудно видеть, что задача (3.2)–(3.9) для “плоского” пограничного слоя распадается на две: задачу двумерной теории упругости, включающую соотношения (3.2),

(3.5)–(3.7), (3.9), и задачу об “антиплоском” сдвиге (3.3), (3.4), (3.8), причем зависимость от “медленной” угловой координаты θ параметрическая.

Функция w_t , характеризующая проскальзывание границы полупространства в касательном направлении, задается формулой

$$w_t(\theta) = \frac{(1-2\nu)(1+\nu)}{2\pi E} \text{v.p.} \int_{\theta-\pi}^{\theta+\pi} P(\tau) \frac{\cos[(\tau-\theta)/2]}{\sin[(\tau-\theta)/2]} d\tau.$$

Определим вектор $\mathbf{W} = (W_1, W_2)$. Поскольку соотношения (3.2), (3.5)–(3.7), (3.9) описывают плоскую контактную задачу для штампа с прямолинейным горизонтальным основанием, то возможны две ситуации: всюду на отрезке $|\eta_1| \leq R$ реализуются либо условия контакта $W_2(\theta, \eta_1, 0) = -\delta_0 - \beta_2 R \cos \theta$, либо условия отсутствия напряжений.

Перемещения точек упругой полуплоскости выражаются через комплексный потенциал φ по формуле Колосова — Мусхелишвили [12]

$$2\mu(W_1(\eta) + iW_2(\eta)) = \varkappa\varphi(\eta) + \varphi(\bar{\eta}) - (\eta - \bar{\eta})\overline{\Phi(\eta)}. \quad (3.10)$$

Здесь $\eta = \eta_1 + i\eta_2$; $\Phi(\eta) = \varphi'(\eta)$; $\varkappa = 3 - 4\nu$; черта означает комплексное сопряжение, штрих — дифференцирование по η . Если штамп нагружен единичной силой, то $\hat{\Phi}_1(\eta) = (2\pi)^{-1}(R^2 - \eta^2)^{-1/2}$ [12] и

$$\hat{\varphi}_1(\eta) = -\frac{1}{2\pi i} \ln \left(\frac{\eta}{R} + \sqrt{\frac{\eta^2}{R^2} - 1} \right) + c. \quad (3.11)$$

Положив в (3.11) $c = -[4(\varkappa+1)]^{-1}(\varkappa-1)$, по формуле (3.10) можно построить комплексную функцию, удовлетворяющую (3.1), (3.5), (3.6), а также условию $\hat{W}_2(\eta) = 0$ при $|\eta_1| < R$, $\eta_2 = 0$. Кроме того, при $|\eta| \rightarrow \infty$ верны следующие формулы:

$$4\pi\mu\hat{W}_1(\eta) = -\frac{2\eta_1\eta_2}{|\eta|^2} + 2(1-2\nu) \text{sign}(\eta_1) \left(\text{arctg} \frac{|\eta_2|}{|\eta_1|} - \frac{\pi}{2} \right) + O(|\eta|^{-1}),$$

$$4\pi\mu\hat{W}_2(\eta) = 4(1-\nu) \ln \frac{2|\eta|}{R} - \frac{2\eta_2^2}{|\eta|^2} + O(|\eta|^{-1}).$$

Согласно построению функции

$$W_1(\theta, \boldsymbol{\eta}) = P(\theta)\hat{W}_1(\eta) + \frac{(1-2\nu)(1+\nu)}{4\pi ER} Q; \quad (3.12)$$

$$W_2(\theta, \boldsymbol{\eta}) = P(\theta)\hat{W}_2(\eta) - \frac{2(1-\nu^2)}{\pi E} \left[P(\theta) \ln \frac{16R}{h} + (\mathbf{J}P)(\theta) \right] \quad (3.13)$$

полностью удовлетворяют соотношениям (3.2), (3.5), (3.6), (3.9). Закон распределения контактного давления в главном имеет вид

$$p(\theta, y_1) = \frac{P(\theta)}{\pi\sqrt{h^2 - y_1^2}}. \quad (3.14)$$

Возможность выполнения ограничения (3.7) для W_1, W_2 изучается ниже.

4. Результирующее вариационное неравенство и главный член логарифмической асимптотики его решения. Пусть $P(\theta) > 0$. Тогда в силу (3.14) во втором соотношении (3.7) реализуется знак строгого неравенства, а в первом — знак равенства. Поэтому согласно (3.13)

$$P(\theta) > 0 \Rightarrow P(\theta) \ln \frac{16R}{h} + \frac{1}{2} \int_{-\pi}^{\pi} \frac{P(\tau) - P(\theta)}{2|\sin[(\tau-\theta)/2]|} d\tau = \frac{\pi E}{2(1-\nu^2)} (\delta_0 + \beta_2 R \cos \theta). \quad (4.1)$$

Если $P(\theta) = 0$, то функции (3.12), (3.14) не зависят от “быстрых” переменных и

$$P(\theta) = 0 \Rightarrow \frac{1}{2} \int_{-\pi}^{\pi} \frac{P(\tau)}{2|\sin[(\tau - \theta)/2]|} d\tau \geq \frac{\pi E}{2(1 - \nu^2)} (\delta_0 + \beta_2 R \cos \theta). \quad (4.2)$$

Наконец, ситуация $P(\theta) < 0$ невозможна как противоречащая второму условию (3.7), т. е. возникает требование

$$P(\theta) \geq 0, \quad \theta \in (-\pi, \pi]. \quad (4.3)$$

Функция P определяется из соотношений (4.1)–(4.3) и включает все допущения в конструкциях внешнего и внутреннего асимптотических представлений решения исходной задачи.

Для упрощения записи используем обозначения

$$\Lambda = \ln \frac{16R}{h}, \quad \gamma(\theta) = \frac{2(1 - \nu^2)}{\pi ER} P(\theta), \quad \varphi(\theta) = \frac{\delta_0}{R} + \beta_2 \cos \theta. \quad (4.4)$$

Следуя общей схеме построения вариационных неравенств (см., например, [1]), соберем формулы (4.1)–(4.3) в единую задачу для искомой плотности γ . Умножим равенство в (4.1) и неравенство в (4.2) на произвольную гладкую неотрицательную функцию σ и проинтегрируем по Γ . С учетом (4.4) имеем

$$\Lambda(\gamma, \sigma) + (\mathbf{J}\gamma, \sigma) \geq (\varphi, \sigma), \quad (\gamma, \sigma) = \int_{-\pi}^{\pi} \gamma(\tau)\sigma(\tau) d\tau. \quad (4.5)$$

Повторим процедуру с $\sigma = \gamma$. В силу (4.1), (4.2) находим

$$\Lambda(\gamma, \gamma) + (\mathbf{J}\gamma, \gamma) = (\varphi, \gamma). \quad (4.6)$$

Вычитая (4.5) из (4.6), получим формулу

$$\Lambda(\gamma, \gamma - \sigma) + (\mathbf{J}\gamma, \gamma - \sigma) \leq (\varphi, \gamma - \sigma) \quad \forall \sigma \geq 0. \quad (4.7)$$

Резльтирующее вариационное неравенство формулируется как задача нахождения неотрицательной функции γ , удовлетворяющей соотношению (4.7) при произвольной гладкой неотрицательной функции σ . Отметим, что решение задачи (4.7), обладающее некоторой гладкостью (если оно существует), удовлетворяет (4.1)–(4.3); вывод этих формул из (4.7) подчиняется общей схеме [1].

ЗАМЕЧАНИЕ 2. В силу определенных свойств оператора \mathbf{J} [8] вопрос о разрешимости задачи (4.7) остается открытым. Однако для построения асимптотики решения задачи (1.1)–(1.5) достаточно асимптотического решения (4.7).

Задача (4.7) содержит большой параметр. Пренебрегая в левой части (4.7) вторым слагаемым, получаем

$$\Lambda(\gamma_1, \gamma_1 - \sigma) \leq (\varphi, \gamma_1 - \sigma) \quad \forall \sigma \geq 0. \quad (4.8)$$

Пусть γ_1 — решение вариационного неравенства (4.8). Подставив в (4.8) в качестве пробной функции $\sigma = \gamma_1 + \sigma_1$ с произвольной $\sigma_1 \geq 0$, выводим неравенство $(\Lambda\gamma_1 - \varphi, \sigma_1) \geq 0 \quad \forall \sigma_1 \geq 0$. Следовательно,

$$\Lambda\gamma_1(\theta) - \varphi(\theta) \geq 0, \quad \theta \in (-\pi, \pi]. \quad (4.9)$$

Положим в (4.8) сначала $\sigma = 0$, а затем $\sigma = 2\gamma_1$. Получим

$$(\Lambda\gamma_1(\theta) - \varphi(\theta))\gamma_1(\theta) = 0, \quad \theta \in (-\pi, \pi]. \quad (4.10)$$

Используя обозначения (4.4), перепишем (4.9), (4.10) в альтернативной форме и добавим требование неотрицательности искомой плотности:

$$P_1(\theta) > 0 \Rightarrow P_1(\theta) \ln \frac{16R}{h} = \frac{\pi E}{2(1-\nu^2)} (\delta_0 + \beta_2 R \cos \theta); \quad (4.11)$$

$$P_1(\theta) = 0 \Rightarrow \delta_0 + \beta_2 R \cos \theta \leq 0; \quad (4.12)$$

$$P_1(\theta) \geq 0, \quad \theta \in (-\pi, \pi]. \quad (4.13)$$

Пусть $(t)_+ = (t + |t|)/2$. Тогда функция P_1 , удовлетворяющая (4.11)–(4.13), а следовательно, являющаяся решением задачи (4.8), имеет вид

$$P_1(\theta) = \frac{\pi E}{2(1-\nu^2)} \frac{1}{\ln(16R/h)} (\delta_0 + \beta_2 R \cos \theta)_+. \quad (4.14)$$

Соотношения (4.11)–(4.13) формализуют задачу одностороннего контакта для упругого основания Винклера.

5. Вариация зоны контакта. Конкретизируя исходную задачу, примем $\beta_2 > 0$, $-1 \leq -\delta_0/(\beta_2 R) < 1$. В этом случае $P_1(\theta) > 0$, если угол θ по модулю ограничен величиной

$$\Theta_1 = \arccos[-\delta_0/(\beta_2 R)]. \quad (5.1)$$

Известен итерационный метод решения контактных задач, реализация которого на каждом шаге состоит в решении задачи с фиксированной зоной контакта. Переход к очередному шагу осуществляется удалением из расчетной области точек, в которых получены отрицательные значения контактных давлений. При этом необходимо, чтобы в начале процесса предполагаемая область контакта охватывала истинную. В [8] показано, что искомая узкая зона контакта оказывается в определенном смысле малым возмущением дуги $\theta \in (-\Theta_1, \Theta_1)$. Следует ожидать, что формула (4.14) дает оценку сверху (см. замечание 1) и уточнение первого приближения приведет к уменьшению величины (5.1).

Положим $\gamma_n(\theta) \equiv 0$ при $\theta \notin (-\Theta_{n-1}, \Theta_{n-1})$. Согласно (2.5) имеем

$$(\mathbf{J}\gamma_n)(\theta) = \frac{1}{2} \int_{-\Theta_{n-1}}^{\Theta_{n-1}} \frac{\gamma_n(\tau) - \gamma_n(\theta)}{2|\sin[(\tau - \theta)/2]|} d\tau - \\ - \frac{\gamma_n(\theta)}{2} \left(\int_{-\pi}^{-\Theta_{n-1}} \frac{1}{2|\sin[(\tau - \theta)/2]|} d\tau + \int_{\Theta_{n-1}}^{\pi} \frac{1}{2|\sin[(\tau - \theta)/2]|} d\tau \right).$$

Вычисляя последние интегралы и подставляя результат в (4.8), для $\theta \in (-\Theta_{n-1}, \Theta_{n-1})$ получаем

$$\gamma_n(\theta) \left(\ln \frac{16}{\varepsilon} + \frac{1}{2} \ln \left[\operatorname{tg} \frac{\Theta_{n-1} + \theta}{4} \operatorname{tg} \frac{\Theta_{n-1} - \theta}{4} \right] \right) + \frac{1}{2} \int_{-\Theta_{n-1}}^{\Theta_{n-1}} \frac{\gamma_n(\tau) - \gamma_n(\theta)}{2|\sin[(\tau - \theta)/2]|} d\tau = \varphi(\theta). \quad (5.2)$$

Решение уравнения (5.2) запишем в форме ряда

$$\gamma_n(\theta) \sim \Lambda^{-1} \gamma_n^1(\theta) + \Lambda^{-2} \gamma_n^2(\theta) + \dots, \quad \gamma_n^1(\theta) = \varphi(\theta), \quad (5.3)$$

$$\gamma_n^2(\theta) = -\frac{1}{2} \varphi(\theta) \ln \left[\operatorname{tg} \frac{\Theta_{n-1} + \theta}{4} \operatorname{tg} \frac{\Theta_{n-1} - \theta}{4} \right] - \frac{1}{2} \int_{-\Theta_{n-1}}^{\Theta_{n-1}} \frac{\varphi(\tau) - \varphi(\theta)}{2|\sin[(\tau - \theta)/2]|} d\tau.$$

Ограничиваясь двумя членами разложения (5.3), находим второе, уточняющее (4.11), приближение к решению задачи (4.1)–(4.3)

$$P_2(\theta) = \frac{\pi E}{2(1-\nu^2)} \frac{1}{\Lambda} \left(\delta_0 + \beta_2 R \cos \theta + \frac{\beta_2 R}{\Lambda} \left[\cos \theta - \cos \frac{\Theta_1}{2} \cos \frac{\theta}{2} \right] - \frac{\delta_0 + \beta_2 R \cos \theta}{2\Lambda} \ln \left[\operatorname{tg} \frac{\Theta_1 + \theta}{4} \operatorname{tg} \frac{\Theta_1 - \theta}{4} \right] \right)_+. \quad (5.4)$$

Плотности распределения погонных давлений (5.4) соответствует дуга контакта $\theta \in (-\Theta_2, \Theta_2)$, причем равенство $\Theta_2 = \Theta_1 - \Lambda^{-1} S_1$ обеспечивает ту же точность, что и в (5.4). Отбрасывая величины $O(\Lambda^{-2} \ln \Lambda)$, выводим следующее трансцендентное уравнение вариации зоны контакта:

$$S_1 \left[1 - \frac{1}{2\Lambda} \ln \left(\frac{S_1}{4\Lambda} \operatorname{tg} \frac{\Theta_1}{2} \right) \right] = \frac{1}{2} \operatorname{tg} \frac{\Theta_1}{2}.$$

Асимптотика его решения имеет вид $S_1 = (1/2) \operatorname{tg} (\Theta_1/2) + O(\Lambda^{-1} \ln \Lambda)$ (пренебрегаем вычитаемым в квадратных скобках). Данная формула становится неверной при значениях Θ_1 , близких к π , т. е. не позволяет описать начало отрыва штампа от основания.

Если $\Theta_1^0 = \pi$, что соответствует $\delta_0 = \beta_2 R$, то уравнение (5.2) совпадает с (4.1) и имеет решение в замкнутой форме [10]. Удерживая, как и ранее, в его логарифмической асимптотике только два первых члена, имеем

$$P_2^0(\theta) = \frac{\pi E}{2(1-\nu^2)} \frac{\beta_2 R}{\Lambda} \left(1 + \cos \theta + \frac{2}{\Lambda} \cos \theta \right)_+.$$

Раствор угла дуги контакта находится из уравнения $\Lambda(1 + \cos \Theta_2^0) + 2 \cos \Theta_2^0 = 0$. Его решение выражается в конечном виде и обладает асимптотикой $\Theta_2^0 = \pi - 2\Lambda^{-1/2} + O(\Lambda^{-3/2})$.

Заключение. Полученные формулы следует понимать именно в асимптотическом смысле: они тем точнее, чем меньше параметры ε и Λ^{-1} ($\Lambda = \ln(16/\varepsilon)$). Напряженно-деформированное состояние упругого тела в окрестности концевых зон контакта трехмерно и, очевидно, не описывается “плоской” зависимостью (3.14). При определении контактных давлений на этих участках можно применять численные методы, объединив их с асимптотическим. Используя найденные конструкции, асимптотику зоны контакта нельзя определить с точностью, сравнимой с полушириной штампа $h = \varepsilon R$. Только возникновение в результирующей задаче новой масштабной единицы $\Lambda^{-1} R$ позволило исследовать вопрос о вариации дуги контакта.

Укажем некоторые возможные пути обобщения предлагаемой одномерной модели одностороннего контакта. Замена упругого основания на слой конечной толщины незначительно усложняет модель. Задачу для штампа переменной толщины с “волнистым” основанием и отличной от круговой срединной линией можно рассматривать, привлекая результаты из [6, 8, 10].

ЛИТЕРАТУРА

1. Гловински Р., Лионс Ж.-Л., Тремольер Р. Численное исследование вариационных неравенств. М.: Мир, 1979.
2. Кравчук А. С. Вариационные и квазивариационные неравенства в механике. М.: Изд-во Моск. акад. приборостроения и информатики, 1997.
3. Гольдштейн Р. В., Спектор А. А. Вариационные оценки решений некоторых смешанных пространственных задач теории упругости с неизвестной границей // Изв. АН СССР. Механика твердого тела. 1978. № 2. С. 82–94.

4. **Ковтуненко В. А.** Метод численного решения задачи о контакте упругой пластины с препятствием // ПМТФ. 1994. Т. 35, № 5. С. 142–146.
5. **Хлуднев А. М.** О контакте двух пластин, одна из которых содержит трещину // Прикл. математика и механика. 1997. Т. 61, № 2. С. 882–894.
6. **Назаров С. А., Полякова О. Р.** Разрушение узкой перемычки между трещинами, лежащими в одной плоскости // Прикл. математика и механика. 1991. Т. 55, № 1. С. 157–165.
7. **Kalker J. J.** On elastic line contact // Trans. ASME. Ser. E. J. Appl. Mech. 1972. V. 39, N 4. P. 1125–1132.
8. **Аргатов И. И., Назаров С. А.** Асимптотическое решение задачи Синьорини с препятствием на тонком продолговатом множестве // Мат. сб. 1996. Т. 187, № 10. С. 3–32.
9. **Федорюк М. В.** Асимптотика решения задачи Дирихле для уравнения Лапласа и Гельмгольца во внешности тонкого цилиндра // Изв. АН СССР. Сер. мат. 1981. Т. 46, № 1. С. 167–186.
10. **Мазья В. Г., Назаров С. А., Пламеневский Б. А.** Асимптотика решений задачи Дирихле в трехмерной области с вырезанной тонкой трубкой // Мат. сб. 1981. Т. 116, № 2. С. 187–217.
11. **Ильин А. М.** Согласование асимптотических разложений решений краевых задач. М.: Наука, 1989.
12. **Мусхелишвили Н. И.** Некоторые основные задачи математической теории упругости. М.: Наука, 1966.

*Поступила в редакцию 17/V 1999 г.,
в окончательном варианте — 25/ VIII 1999 г.*
